

## ANEXO II: DATOS DE TRÁFICO Y TRAYECTORIAS



## 1. COMPOSICIÓN DE LA FLOTA. AEROPUERTO DE SEVILLA

La base de datos ANP, citada en el apartado de número de operaciones y composición de la flota, además de proporcionar el representante ANP correspondiente a un código OACI de avión, recoge un factor de corrección (FC) que representa la configuración de avión más ruidosa para cada pareja OACI/ANP, tanto para las operaciones de despegue como en las de aterrizaje.

Se incluye a continuación los factores de corrección para las operaciones realizadas en el aeropuerto proporcionados por la base de datos ANP. Estos factores se establecen en base a un número de movimientos equivalentes para cada tipo de operación de aterrizaje o despegue en función del tipo de aeronave.

**Tabla AII. 1. Factores de corrección por operación de la base de datos ANP por modelo de aeronave. Aterrizajes (N\_APP) y despegues (N\_DEP)**

OACI	CÓDIGO AEDT	N_APP	N_DEP
A19N	A319-131	1	1
A20N	A320-211	0,45	0,21
A20N	A320-232	0,63	0,45
A21N	A321-232	0,85	0,43
A306	A300-622R	1,05	1,02
A318	A319-131	0,91	1,51
A319	A319-131	1,07	1,58
A320	A320-211	1	1,05
A320	A320-232	1,66	1,7
A321	A321-232	1,38	2,24
A332	A330-343	1,02	-
A359	A350-941	1	1,05
A3ST	A300-622R	0,5	0,58
AC11	GASEPV	1	1
AN26	CVR580	1,78	1,82
AP22	GASEPF	1	1
ASTR	IA1125	1	1
AT46	DHC830	1	1
AT5T	GASEPV	1	1
AT75	HS748A	0,68	0,12
AT76	DHC830	1	1
AT8T	GASEPV	1	1
B350	DHC6	1	1
B38M	7378MAX	1	1,05

OACI	CÓDIGO AEDT	N_APP	N_DEP
B712	717200	1,12	1,07
B733	7373B2	1,05	1
B734	737400	1	1
B735	737500	1,82	1,91
B737	737700	1,1	1,41
B738	737800	1,1	1,15
B752	757RR	3,24	1,29
B762	767CF6	1,05	1,66
BE20	DHC6	1	1
BE33	GASEPV	1	1
BE40	MU3001	1,07	1,07
BE4W	MU3001	1	1
BE55	BEC58P	1	1
BE76	BEC58P	1	1
BE9L	CNA441	1	1
C150	CNA172	1	1
C152	CNA172	1	1
C172	CNA172	1	1
C182	CNA182	1	1
C210	CNA206	1	1
C25A	CNA525C	1,55	0,56
C25B	CNA525C	0,81	0,59
C25C	CNA525C	1	1
C25M	CNA525C	1	1
C310	BEC58P	1	1
C337	BEC58P	1	1
C340	BEC58P	1	1
C500	CNA500	5,62	4,07
C501	CNA500	1,58	0,58
C510	CNA510	1	1
C525	CNA525C	1,05	1,02
C550	CNA55B	1	3,98
C550	CNA560U	1,12	1,17
C55B	CNA55B	1	1
C560	CNA560U	2,09	1,05
C56X	CNA560XL	1	1,29

OACI	CÓDIGO AEDT	N_APP	N_DEP
C650	CIT3	1,38	1,12
C680	CNA680	1	1,29
C68A	CNA680	1	1
C750	CNA750	1	1
CL30	CL600	0,69	0,51
CL35	CL600	1	1
CL60	CL601	1,02	1,2
COL4	GASEPV	1	1
CRJ2	CL601	1,32	0,71
CRJ9	CRJ9-ER	1,2	1,26
CRJX	CRJ9-LR	1,23	1,26
CRUZ	GASEPF	1	1
DA40	GASEPV	1	1
DA42	BEC58P	1	1
DA62	BEC58P	1	1
DH8C	DHC830	2,51	1,74
DR40	GASEPF	1	1
DV20	GASEPF	1	1
E120	EMB120	1	1
E145	EMB14L	1,02	2,88
E170	EMB170	1,05	1,15
E190	EMB190	1	1
E195	EMB195	1	1
E35L	CNA55B	1	1
E50P	CNA510	1,02	0,47
E545	CNA750	0,91	1,48
E550	CNA55B	1	1
E55P	CNA560XL	0,38	1,35
EA50	ECLIPSE500	1	1
ECHO	GASEPF	1	1
EV97	GASEPF	1	1
F100	F10065	1	1,1
F2TH	CL600	2,4	1,82
F2TH	CL601	0,95	2,57
F406	DHC6	1	1
F900	EMB14L	0,95	2,14

OACI	CÓDIGO AEDT	N_APP	N_DEP
FA10	LEAR35	2	0,74
FA50	FAL20	0,55	1,05
FA7X	CRJ9-ER	1,05	1,26
FDCT	GASEPF	1	1
G280	EMB145	0,62	0,98
GALX	EMB145	1,02	1,41
GL5T	GV	0,78	1,1
GL7T	BD-700-1A10	1	1
GLEX	F10065	0,47	0,85
GLF4	GIV	1	1
GLF5	GV	1,02	1,02
GLF6	G650ER	1	1
GOLF	GASEPF	-	1
H25B	IA1125	2,88	5,75
HA4T	EMB145	0,79	1,23
HDJT	CNA55B	0,43	0,93
J328	CNA750	1	1
LJ31	LEAR35	1,23	1
LJ35	LEAR35	1,12	1,41
LJ40	LEAR35	1	1
LJ45	LEAR35	1,32	0,35
LJ55	LEAR35	1,05	2,19
LJ60	CNA560XL	0,29	0,72
LJ75	LEAR35	1	1
M20P	GASEPV	1	1
M20T	GASEPV	1	1
M600	GASEPV	1	1
P06T	PA30	1	1
P180	DHC6	1	1
P208	GASEPF	1	1
P28A	PA28	1	1
P28R	GASEPV	1	1
P28T	GASEPV	1	1
P68	PA30	1	1
P750	DHC6	1	1
PA27	BEC58P	1	1

OACI	CÓDIGO AEDT	N_APP	N_DEP
PA28	GASEPF	1	1
PA31	BEC58P	1	1
PA32	GASEPV	1	1
PA34	BEC58P	1	1
PA38	GASEPF	1	1
PA44	GASEPF	1	1
PA46	GASEPV	1	1
PAY2	CNA441	1	1
PAY3	PA42	1	1
PC12	CNA208	1	1
PC24	CNA55B	1	1
PISI	GASEPF	1	1
PRM1	CNA55B	1,2	1,91
RANG	GASEPF	1	1
RV8	GASEPV	1	1
S22T	COMSEP	1	1
SIRA	GASEPF	1	1
SR20	COMSEP	1	1
SR22	COMSEP	1	1
SW3	DHC6	1	1
TAMP	GASEPF	1	1
TB20	GASEPV	1	1
TBM7	CNA208	1	1
TBM8	CNA441	1	1
TBM9	CNA208	1	1
TOBA	GASEPV	1	1
TWEN	GASEPF	1	1
ULAC	GASEPF	1	1
Z26	GASEPF	1	1

Fuente: Base de datos ANP

Debido a este factor de corrección aplicado, tal como se refleja en el apartado 4.3 del presente documento, el número de operaciones a simular no coinciden exactamente con el día medio correspondiente al año de estudio (120,10 operaciones), siendo las operaciones simuladas un total de 133,98.

En la siguiente tabla se muestran las operaciones consideradas en la simulación y su distribución en los periodos horarios, día, tarde y noche.

**Tabla AII. 2. Operaciones simuladas. Aeropuerto de Sevilla**

OPERACIONES ANUALES	OPERACIONES DÍA MEDIO (OPS ANUALES/365 DÍAS)	OPERACIONES SIMULADAS FC ANP			
		TOTALES	DÍA	TARDE	NOCHE
<b>43.841</b>	<b>120,10</b>	<b>133,98</b>	96,72	27,95	9,31

Fuente: Elaboración propia

A continuación, se incluye una tabla con la composición de la flota y el número total de operaciones asociadas a cada modelo de aeronave desarrolladas en el aeropuerto durante el año 2021. Se incorpora también el número de operaciones totales simuladas para el MER correspondientes a cada modelo de aeronave, una vez aplicado el factor de corrección por tipo de operación desarrollada.

**Tabla AII. 3. Composición de la flota año 2021**

INDICATIVO OACI	TIPO DE AERONAVE	CÓDIGO AEDT	OPERACIONES PALESTRA 2021		OPERACIONES FACTOR CORRECCIÓN ANP	
			Nº OPS	%	Nº OPS	%
A19N	Airbus A319 Neo	A319-131	0,0292	0,0243	0,0292	0,0218
A20N	Airbus A-320 neo	A320-211	0,9224	0,7680	0,3044	0,2272
A20N	Airbus A-320 neo	A320-232	7,7296	6,4358	4,1724	3,1143
A21N	Airbus A-321 neo	A321-232	0,2977	0,2479	0,1906	0,1422
A306	AIRBUS A-300B/C/F 4-600	A300-622R	2,7760	2,3113	2,8732	2,1445
A318	AIRBUS A-318	A319-131	0,1635	0,1361	0,1978	0,1476
A319	AIRBUS A-319	A319-131	4,3611	3,6311	5,7784	4,3129
A320	AIRBUS A-320	A320-211	13,0540	10,8689	13,3813	9,9877
A320	AIRBUS A-320	A320-232	11,6791	9,7241	19,6211	14,6450
A321	AIRBUS A-321	A321-232	1,3486	1,1229	2,4385	1,8200
A332	AIRBUS A-330-200	A330-343	0,0029	0,0024	0,0030	0,0022
A359	AIRBUS A-350-900	A350-941	0,0117	0,0097	0,0120	0,0089
A3ST	AIRBUS A-300ST Beluga	A300-622R	0,0992	0,0826	0,0536	0,0400
AC11	ROCKWELL 112/114 Commander	GASEPV	0,0117	0,0097	0,0117	0,0087
AN26	ANTONOV An-26	CVR580	0,0058	0,0049	0,0105	0,0078
AP22	AEROPRAKT A-22 Foxbat/Valor/Vision	GASEPF	0,0058	0,0049	0,0058	0,0044
ASTR	IAI 1125 Gulfstream G100	IA1125	0,0117	0,0097	0,0117	0,0087
AT46	AEROSPATIALE ATR-42-600	DHC830	0,1022	0,0851	0,1022	0,0763
AT5T	AIR TRACTOR AT-502/503	GASEPV	0,0409	0,0340	0,0409	0,0305



INDICATIVO OACI	TIPO DE AERONAVE	CÓDIGO AEDT	OPERACIONES PALESTRA 2021		OPERACIONES FACTOR CORRECCIÓN ANP	
			Nº OPS	%	Nº OPS	%
AT75	AEROSPATIALE ATR-72-500	HS748A	0,0146	0,0122	0,0067	0,0050
AT76	AEROSPATIALE ATR-72-600	DHC830	5,3185	4,4282	5,3185	3,9697
AT8T	AIR TRACTOR AT-802	GASEPV	0,0058	0,0049	0,0058	0,0044
B350	BEECH 300 (B300) Super King Air 350	DHC6	0,0730	0,0608	0,0730	0,0545
B38M	Boeing 737 MAX 8	7378MAX	0,4904	0,4083	0,5027	0,3752
B712	BOEING 717-200	717200	0,0467	0,0389	0,0511	0,0382
B733	BOEING 737-300	7373B2	0,0146	0,0122	0,0150	0,0112
B734	BOEING 737-400	737400	1,4654	1,2201	1,4654	1,0937
B735	BOEING 737-500	737500	0,0117	0,0097	0,0218	0,0163
B737	BOEING 737-700	737700	0,0467	0,0389	0,0586	0,0437
B738	BOEING 737-800	737800	31,6541	26,3556	35,6137	26,5817
B752	BOEING 757-200	757RR	1,5559	1,2954	3,5269	2,6324
B762	BOEING 767-200	767CF6	0,0058	0,0049	0,0079	0,0059
BE20	BEECH 200 Super King Air	DHC6	0,3386	0,2819	0,3386	0,2527
BE33	BEECH 33	GASEPV	0,0496	0,0413	0,0496	0,0370
BE40	BEECH 400 Beechjet	MU3001	0,1751	0,1458	0,1874	0,1399
BE4W	Nextant 400XT Beechjet	MU3001	0,0175	0,0146	0,0175	0,0131
BE55	BEECH 55 Baron	BEC58P	0,0350	0,0292	0,0350	0,0261
BE76	BEECH 76 Duchess	BEC58P	0,0117	0,0097	0,0117	0,0087
BE9L	BEECH 90 (A/B/C/D/E 90) King Air	CNA441	0,0175	0,0146	0,0175	0,0131
C150	CESSNA 150	CNA172	0,0963	0,0802	0,0963	0,0719
C152	CESSNA 152	CNA172	0,9137	0,7607	0,9137	0,6819
C172	CESSNA 172	CNA172	9,2359	7,6899	9,2359	6,8935
C182	CESSNA 182	CNA182	0,0204	0,0170	0,0204	0,0153
C210	CESSNA 210	CNA206	0,0058	0,0049	0,0058	0,0044
C25A	CESSNA 525A Citation CJ2	CNA525C	0,3094	0,2576	0,3264	0,2436
C25B	CESSNA 525B Citation CJ3	CNA525C	0,1576	0,1312	0,1103	0,0824
C25C	CESSNA 525C Citation CJ4	CNA525C	0,0584	0,0486	0,0584	0,0436
C25M	CESSNA 525 Citation M2	CNA525C	0,0701	0,0583	0,0701	0,0523
C310	CESSNA 310	BEC58P	0,0058	0,0049	0,0058	0,0044

INDICATIVO OACI	TIPO DE AERONAVE	CÓDIGO AEDT	OPERACIONES PALESTRA 2021		OPERACIONES FACTOR CORRECCIÓN ANP	
			Nº OPS	%	Nº OPS	%
C337	CESSNA 337 Super Skymaster	BEC58P	0,5225	0,4350	0,5225	0,3900
C340	CESSNA 340	BEC58P	0,0438	0,0365	0,0438	0,0327
C500	CESSNA 500 Citation	CNA500	0,0058	0,0049	0,0283	0,0211
C501	CESSNA 501 Citation 1SP	CNA500	0,0117	0,0097	0,0126	0,0094
C510	CESSNA 510 Citation Mustang	CNA510	0,1343	0,1118	0,1343	0,1002
C525	CESSNA 525 Citation CJ1	CNA525C	0,6451	0,5371	0,6680	0,4986
C550	CESSNA 550/552 Citation 2/Bravo	CNA55B	0,0701	0,0583	0,1744	0,1302
C550	CESSNA 550/552 Citation 2/Bravo	CNA560U	0,1547	0,1288	0,1771	0,1322
C55B	CESSNA 550 Citation Bravo	CNA55B	0,0117	0,0097	0,0117	0,0087
C560	CESSNA 560 Citation 5	CNA560U	0,0467	0,0389	0,0733	0,0547
C56X	CESSNA 560XL Citation Excel	CNA560XL	0,7152	0,5955	0,8184	0,6109
C650	CESSNA 650 Citation 3/6/7	CIT3	0,0876	0,0729	0,1095	0,0817
C680	CESSNA 680 Citation Sovereign	CNA680	0,0117	0,0097	0,0134	0,0100
C68A	Cessna 680A Citation Latitude	CNA680	0,0992	0,0826	0,0992	0,0741
C750	CESSNA 750 Citation 10	CNA750	0,0117	0,0097	0,0117	0,0087
CL30	BOMBARDIER BD-100 Challenger 300	CL600	0,0350	0,0292	0,0210	0,0157
CL35	BOMBARDIER BD-100 Challenger 350	CL600	0,1430	0,1191	0,1430	0,1068
CL60	CANADAIR CL-600 Challenger 600/601/604	CL601	0,0817	0,0681	0,0907	0,0677
COL4	LANCAIR LC-41 Columbia 400	GASEPV	0,0058	0,0049	0,0058	0,0044
CRJ2	CANADAIR CL-600 Regional Jet CRJ-200/440	CL601	0,1518	0,1264	0,1541	0,1150
CRJ9	CANADAIR CL-600 Regional Jet CRJ-705/900	CRJ9-ER	0,0701	0,0583	0,0862	0,0643
CRJX	CANADAIR CL-600 Regional Jet CRJ-1000 (CL600-2E25)	CRJ9-LR	2,2798	1,8982	2,8381	2,1183
CRUZ	CZAW SportCruiser	GASEPF	0,0175	0,0146	0,0175	0,0131
DA40	DIAMOND DA-40	GASEPV	0,8027	0,6684	0,8027	0,5992

INDICATIVO OACI	TIPO DE AERONAVE	CÓDIGO AEDT	OPERACIONES PALESTRA 2021		OPERACIONES FACTOR CORRECCIÓN ANP	
			Nº OPS	%	Nº OPS	%
DA42	DIAMOND DA-42 Twin Star	BEC58P	0,2598	0,2163	0,2598	0,1939
DA62	DIAMOND DA-62	BEC58P	0,0642	0,0535	0,0642	0,0479
DH8C	DE HAVILLAND CANADA DHC-8-300 Dash 8	DHC830	0,0058	0,0049	0,0124	0,0093
DR40	ROBIN DR-400/500	GASEPF	0,0088	0,0073	0,0088	0,0065
DV20	DIAMOND DA-20/22	GASEPF	0,1664	0,1385	0,1664	0,1242
E120	EMBRAER EMB-120 Brasilia	EMB120	0,0058	0,0049	0,0058	0,0044
E145	EMBRAER EMB-145	EMB14L	0,0117	0,0097	0,0228	0,0170
E170	Embraer 170/ERJ 170-100	EMB170	0,2102	0,1750	0,2312	0,1726
E190	EMBRAER 190/ERJ-190-100	EMB190	0,6130	0,5104	0,6130	0,4575
E195	EMBRAER 195/ ERJ-190- 200	EMB195	0,2218	0,1847	0,2218	0,1656
E35L	EMBRAER EMB-135BJ Legacy 600	CNA55B	0,1460	0,1215	0,1460	0,1089
E50P	EMBRAER EMB-500 Phenom 100	CNA510	0,0175	0,0146	0,0130	0,0097
E545	EMBRAER EMB-545 Legacy 450	CNA750	0,0117	0,0097	0,0140	0,0104
E550	EMBRAER EMB-550 Legacy 500	CNA55B	0,0409	0,0340	0,0409	0,0305
E55P	EMBRAER EMB-505 Phenom 300	CNA560XL	0,2977	0,2479	0,2575	0,1922
EA50	ECLIPSE Eclipse 500	ECLIPSE500	0,0058	0,0049	0,0058	0,0044
ECHO	TECNAM P-92 Echo	GASEPF	0,0175	0,0146	0,0175	0,0131
EV97	EVEKTOR-AEROTECHNIK EV-97VLA Harmony	GASEPF	0,0058	0,0049	0,0058	0,0044
F100	FOKKER 100	F10065	0,0058	0,0049	0,0061	0,0046
F2TH	DASSAULT Falcon 2000	CL600	0,0292	0,0243	0,0616	0,0460
F2TH	DASSAULT Falcon 2000	CL601	0,1401	0,1167	0,2466	0,1841
F406	CESSNA F406	DHC6	0,0058	0,0049	0,0058	0,0044
F900	DASSAULT-BREGUET Mystère 900	EMB14L	0,0409	0,0340	0,0631	0,0471
FA10	DASSAULT-BREGUET Falcon 10/100	LEAR35	0,0234	0,0194	0,0320	0,0239
FA50	DASSAULT-BREGUET Falcon 50	FAL20	0,0234	0,0194	0,0187	0,0139
FA7X	DASSAULT Falcon 7X	CRJ9-ER	0,1343	0,1118	0,1551	0,1158

INDICATIVO OACI	TIPO DE AERONAVE	CÓDIGO AEDT	OPERACIONES PALESTRA 2021		OPERACIONES FACTOR CORRECCIÓN ANP	
			Nº OPS	%	Nº OPS	%
FDCT	FLIGHT DESIGN CT	GASEPF	0,0058	0,0049	0,0058	0,0044
G280	Gulfstream G280	EMB145	0,0058	0,0049	0,0047	0,0035
GALX	IAI 1126 Gulfstream G200	EMB145	0,3211	0,2673	0,3901	0,2912
GL5T	BOMBARDIER BD-700 Global 5000	GV	0,0525	0,0437	0,0494	0,0369
GL7T	Bombardier BD-700 Global 7500	BD-700- 1A10	0,0175	0,0146	0,0175	0,0131
GLEX	BOMBARDIER BD-700 Global Express	F10065	0,1897	0,1580	0,1247	0,0931
GLF4	GULFSTREAM AEROSPACE G-4 Gulfstream G300/350/400/450	GIV	0,0175	0,0146	0,0175	0,0131
GLF5	GULFSTREAM AEROSPACE G-5SP Gulfstream G500/550	GV	0,0467	0,0389	0,0476	0,0356
GLF6	GULFSTREAM AEROSPACE Gulfstream G650	G650ER	0,0409	0,0340	0,0409	0,0305
GOLF	TECNAM P-96 Golf	GASEPF	0,0029	0,0024	0,0029	0,0022
H25B	BRITISH AEROSPACE BAe- 125-700/800	IA1125	0,0701	0,0583	0,3023	0,2256
HA4T	RAYTHEON Hawker 4000	EMB145	0,0058	0,0049	0,0059	0,0044
HDJT	HONDA HA-420 HondaJet	CNA55B	0,0058	0,0049	0,0040	0,0030
J328	FAIRCHILD DORNIER 328JET	CNA750	0,0350	0,0292	0,0350	0,0261
LJ31	LEARJET 31	LEAR35	0,0234	0,0194	0,0260	0,0194
LJ35	LEARJET 35/36	LEAR35	0,0467	0,0389	0,0591	0,0441
LJ40	LEARJET 40	LEAR35	0,0175	0,0146	0,0175	0,0131
LJ45	LEARJET 45	LEAR35	0,1284	0,1069	0,1072	0,0800
LJ55	LEARJET 55	LEAR35	0,0175	0,0146	0,0284	0,0212
LJ60	LEARJET 60	CNA560XL	0,0175	0,0146	0,0088	0,0066
LJ75	LEARJET 75	LEAR35	0,0292	0,0243	0,0292	0,0218
M20P	MOONEY 201/205/M- 20A/B/C/D/E/F/G/J/L/R/S	GASEPV	0,0088	0,0073	0,0088	0,0065
M20T	MOONEY 231/252/M-20K/M	GASEPV	0,0058	0,0049	0,0058	0,0044
M600	PA-46-600TP M600	GASEPV	0,0058	0,0049	0,0058	0,0044
P06T	TECNAM P-2006T	PA30	0,0350	0,0292	0,0350	0,0261

INDICATIVO OACI	TIPO DE AERONAVE	CÓDIGO AEDT	OPERACIONES PALESTRA 2021		OPERACIONES FACTOR CORRECCIÓN ANP	
			Nº OPS	%	Nº OPS	%
P180	PIAGGIO P-180 Avanti	DHC6	0,0555	0,0462	0,0555	0,0414
P208	TECNAM P-2008	GASEPF	0,2335	0,1944	0,2335	0,1743
P28A	PIPER PA-28- 140/150/151/160/161/180/18 1	PA28	6,4861	5,4004	6,4861	4,8412
P28R	PIPER PA-28R- 180/200/201/201T Cherokee Arrow	GASEPV	4,7785	3,9786	4,7785	3,5666
P28T	PIPER PA-28RT-201/201T Arrow 4	GASEPV	0,0058	0,0049	0,0058	0,0044
P68	PARTENAVIA P-68	PA30	0,3678	0,3062	0,3678	0,2745
P750	PACIFIC AEROSPACE 750XL	DHC6	0,0058	0,0049	0,0058	0,0044
PA27	PIPER PA-23-235/250/250T Aztec	BEC58P	0,0058	0,0049	0,0058	0,0044
PA28	PIPER PA-28-140 Cherokee	GASEPF	0,5167	0,4302	0,5167	0,3856
PA31	PIPER PA-31- 300/310/325/350/P350/P425	BEC58P	0,0292	0,0243	0,0292	0,0218
PA32	PIPER PA-32	GASEPV	0,0088	0,0073	0,0088	0,0065
PA34	PIPER PA-34 Seneca	BEC58P	1,4274	1,1885	1,4274	1,0654
PA38	PIPER PA-38 Tomahawk	GASEPF	0,0379	0,0316	0,0379	0,0283
PA44	PIPER PA-44/44T Seminole	GASEPF	0,0058	0,0049	0,0058	0,0044
PA46	PIPER PA-46-310P Malibu	GASEPV	0,0175	0,0146	0,0175	0,0131
PAY2	PIPER PA-31T/T2-620 Cheyenne	CNA441	0,0058	0,0049	0,0058	0,0044
PAY3	PIPER PA-42-720 Cheyenne 3	PA42	0,0058	0,0049	0,0058	0,0044
PC12	PILATUS PC-12	CNA208	0,1460	0,1215	0,1460	0,1089
PC24	PILATUS PC-24	CNA55B	0,0642	0,0535	0,0642	0,0479
PISI	PIPISTREL Sinus	GASEPF	0,0058	0,0049	0,0058	0,0044
PRM1	RAYTHEON 390 Premier 1	CNA55B	0,0642	0,0535	0,0999	0,0745
RANG	NAVION Rangemaster	GASEPF	0,0088	0,0073	0,0088	0,0065
RV8	VAN'S RV-8	GASEPV	0,0058	0,0049	0,0058	0,0044
S22T	CIRRUS SR-22T	COMSEP	0,0146	0,0122	0,0146	0,0109
SIRA	TECNAM P-2002 Sierra	GASEPF	0,0584	0,0486	0,0584	0,0436
SR20	CIRRUS SR-20	COMSEP	0,6013	0,5007	0,6013	0,4488
SR22	CIRRUS SR-22	COMSEP	0,0525	0,0437	0,0525	0,0392

INDICATIVO OACI	TIPO DE AERONAVE	CÓDIGO AEDT	OPERACIONES PALESTRA 2021		OPERACIONES FACTOR CORRECCIÓN ANP	
			Nº OPS	%	Nº OPS	%
SW3	FAIRCHILD SWEARINGEN SA-226TB/227TT Merlin 3/Fairchild 300	DHC6	0,0058	0,0049	0,0058	0,0044
TAMP	SOCATA TB-9 Tampico	GASEPF	0,0117	0,0097	0,0117	0,0087
TB20	SOCATA TB-20 Trinidad	GASEPV	0,0058	0,0049	0,0058	0,0044
TBM7	SOCATA TBM-700	CNA208	0,0175	0,0146	0,0175	0,0131
TBM8	SOCATA TBM-850	CNA441	0,0117	0,0097	0,0117	0,0087
TBM9	SOCATA TBM-900	CNA208	0,0263	0,0219	0,0263	0,0196
TOBA	SOCATA TB-10/200 Tobago	GASEPV	0,2919	0,2430	0,2919	0,2179
TWEN	Tecnam P-2010	GASEPF	0,0058	0,0049	0,0058	0,0044
ULAC	(ANY MANUFACTURER) Microlight/Ultralight aircraft	GASEPF	0,0058	0,0049	0,0058	0,0044
Z26	ZLIN Z- 26/126/226/326/526/626	GASEPF	0,0058	0,0049	0,0058	0,0044

Fuente: Elaboración propia

## 2. FICHERO DE TRÁFICO SIMULADO. AEROPUERTO DE SEVILLA

Tabla AII. 4. Fichero de tráfico simulado.

AERONAVE AEDT	ATERRIJAJES			DESPEGUES		
	DÍA	TARDE	NOCHE	DÍA	TARDE	NOCHE
717200	0,0131	0,0131	0,0000	0,0125	0,0125	0,0000
737400	0,5984	0,0146	0,1255	0,0321	0,6918	0,0029
737500	0,0106	0,0000	0,0000	0,0056	0,0000	0,0056
737700	0,0128	0,0128	0,0000	0,0165	0,0165	0,0000
737800	10,9718	4,3733	2,0036	12,1822	4,5385	1,5442
7373B2	0,0061	0,0031	0,0000	0,0058	0,0000	0,0000
7378MAX	0,1022	0,1401	0,0029	0,1042	0,1502	0,0031
757RR	2,4779	0,0189	0,0284	0,0490	0,9414	0,0113
767CF6	0,0031	0,0000	0,0000	0,0000	0,0048	0,0000
A300-622R	1,3795	0,0981	0,0061	0,7149	0,7222	0,0060
A319-131	1,8287	0,5841	0,0094	2,6810	0,8700	0,0323
A320-211	4,9644	1,2534	0,4962	5,4318	1,1132	0,4266
A320-232	8,1775	2,6477	1,2906	8,6710	2,0174	0,9894
A321-232	0,7965	0,2405	0,0242	1,1406	0,3096	0,1177
A330-343	0,0030	0,0000	0,0000	0,0000	0,0000	0,0000
A350-941	0,0058	0,0000	0,0000	0,0061	0,0000	0,0000
BD-700-1A10	0,0088	0,0000	0,0000	0,0088	0,0000	0,0000
BEC58P	1,0100	0,1635	0,0321	1,0859	0,0934	0,0204
CIT3	0,0403	0,0201	0,0000	0,0327	0,0163	0,0000
CL600	0,0906	0,0216	0,0049	0,0920	0,0082	0,0082
CL601	0,1452	0,0487	0,0145	0,2444	0,0309	0,0076
CNA172	3,7889	0,9370	0,3941	4,5566	0,4320	0,1372
CNA182	0,0058	0,0029	0,0029	0,0088	0,0000	0,0000
CNA206	0,0029	0,0000	0,0000	0,0029	0,0000	0,0000
CNA208	0,0788	0,0146	0,0000	0,0905	0,0029	0,0029
CNA441	0,0146	0,0029	0,0000	0,0175	0,0000	0,0000
CNA500	0,0092	0,0164	0,0000	0,0153	0,0000	0,0000
CNA510	0,0410	0,0204	0,0147	0,0391	0,0088	0,0234
CNA525C	0,3953	0,1706	0,1514	0,3244	0,1329	0,0586
CNA55B	0,1402	0,0543	0,0117	0,2740	0,0434	0,0175
CNA560U	0,0894	0,0323	0,0155	0,0703	0,0266	0,0164
CNA560XL	0,3619	0,0482	0,0081	0,5884	0,0645	0,0138

AERONAVE AEDT	ATERRIZAJES			DESPEGUES		
	DÍA	TARDE	NOCHE	DÍA	TARDE	NOCHE
CNA680	0,0409	0,0088	0,0058	0,0484	0,0058	0,0029
CNA750	0,0257	0,0029	0,0000	0,0262	0,0058	0,0000
COMSEP	0,3065	0,0292	0,0029	0,2948	0,0321	0,0029
CRJ9-ER	0,1095	0,0031	0,0000	0,0993	0,0294	0,0000
CRJ9-LR	1,0879	0,2836	0,0395	1,0629	0,3016	0,0625
CVR580	0,0000	0,0052	0,0000	0,0053	0,0000	0,0000
DHC6	0,2073	0,0379	0,0000	0,2248	0,0146	0,0000
DHC830	1,8113	0,6597	0,2598	1,8149	0,6480	0,2394
ECLIPSE500	0,0000	0,0029	0,0000	0,0029	0,0000	0,0000
EMB120	0,0029	0,0000	0,0000	0,0029	0,0000	0,0000
EMB145	0,1589	0,0089	0,0000	0,1798	0,0447	0,0082
EMB14L	0,0254	0,0000	0,0000	0,0521	0,0084	0,0000
EMB170	0,1103	0,0000	0,0000	0,1208	0,0000	0,0000
EMB190	0,3007	0,0000	0,0058	0,3036	0,0000	0,0029
EMB195	0,1022	0,0088	0,0000	0,0876	0,0029	0,0204
F10065	0,0427	0,0027	0,0027	0,0603	0,0198	0,0025
FAL20	0,0064	0,0000	0,0000	0,0061	0,0061	0,0000
G650ER	0,0175	0,0029	0,0000	0,0204	0,0000	0,0000
GASEPF	0,3561	0,1051	0,1022	0,4379	0,0788	0,0467
GASEPV	2,3819	0,5050	0,1372	2,6884	0,2773	0,0613
GIV	0,0058	0,0029	0,0000	0,0088	0,0000	0,0000
GV	0,0361	0,0082	0,0000	0,0403	0,0124	0,0000
HS748A	0,0060	0,0000	0,0000	0,0007	0,0000	0,0000
IA1125	0,0870	0,0113	0,0084	0,1233	0,0504	0,0336
LEAR35	0,1232	0,0258	0,0322	0,1040	0,0070	0,0073
MU3001	0,0806	0,0219	0,0000	0,0868	0,0031	0,0125
PA28	2,5075	0,6042	0,0905	2,5512	0,7152	0,0175
PA30	0,0905	0,0876	0,0204	0,1460	0,0584	0,0000
PA42	0,0029	0,0000	0,0000	0,0029	0,0000	0,0000
<b>Total</b>	<b>47,6079</b>	<b>13,3819</b>	<b>5,3443</b>	<b>49,1083</b>	<b>14,5702</b>	<b>3,9657</b>

Fuente: Elaboración propia

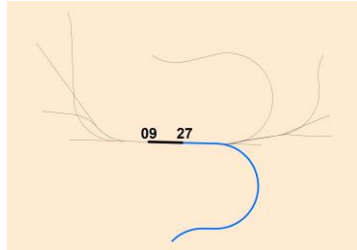


### 3. RÉGIMEN DE UTILIZACIÓN DE PISTAS Y TRAYECTORIAS

Tabla AII. 5. Características operativas de los corredores. Cabecera 09.

CORREDOR SIMULADO	PERIODO OPERATIVO	PISTA	PROCEDIMIENTO AIP
<b>LLEGADAS NORMALIZADA (STAR)</b>			
APP09	H24	09	BLN3F / VJF4F / MAR5F / SANTA4F/ HIJ4F / OSLEP2F / VIBAS4F / BLN2K / MAMIS1F
<b>SALIDAS NORMALIZADA POR INSTRUMENTOS (SID)</b>			
D09_E	H24	09	VIBAS2R / MAR3R / VJF3R
D09_E_RNAV	H24	09	BUDIT2R
D09_N	H24	09	HIJ2R
D09_NO	H24	09	SANTA3R

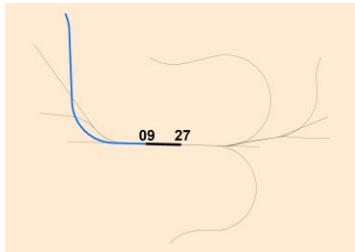
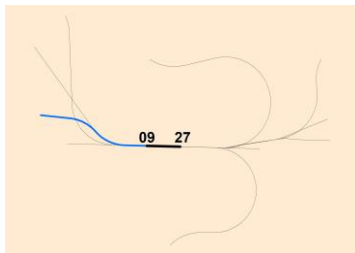
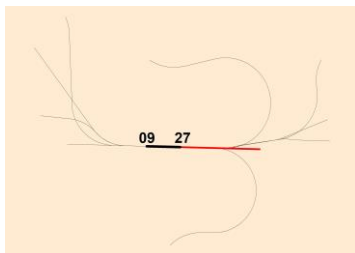
CORREDOR SIMULADO	PERIODO OPERATIVO	PISTA	PROCEDIMIENTO AIP
D09_SO	H24	09	CLANA3R / JRZ2R / ONUBA3R

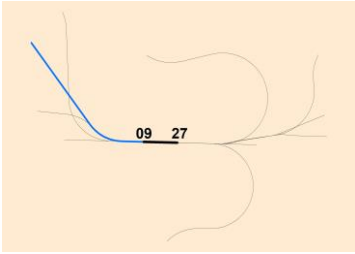


Fuente: Elaboración propia

Tabla AII. 6. Características operativas de los corredores. Cabecera 27

CORREDOR SIMULADO	PERIODO OPERATIVO	PISTA	PROCEDIMIENTO AIP
LLEGADAS NORMALIZADA (STAR)			
APP27	H24	27	BLN3E / OSLEP2E/2M / VJF4E/3M / MAR4E/3M / SANTA3E / HIJ4E / VIBAS3E/2M / MAMIS1E/1M
SALIDAS NORMALIZADA POR INSTRUMENTOS (SID)			
D27_E	H24	27	CLANA3G / JRZ2G / MAR3G / ONUBA2G / VIBAS3G / VJF2G
D27_N	H24	27	HIJ4G / SANTA4G



CORREDOR SIMULADO	PERIODO OPERATIVO	PISTA	PROCEDIMIENTO AIP
D27_RNAV 	H24	27	BUDIT3G / HIJ1P / SANTA2P

Fuente: Elaboración propia

**Tabla AII. 7. Porcentaje de empleo de corredores dentro de la simulación.**

TIPO OPERACIÓN	PISTA	CORREDOR	%D	%T	%N	%TOTAL POR CONFIGURACIÓN
Aterrizajes	09	APP09	82,19	14,37	3,45	100,00
	27	APP27	66,44	23,14	10,41	100,00
Despegues	09	D09_E	31,21	5,71	4,41	41,33
		D09_E_RNAV	5,42	2,11	0,25	7,78
		D09_N	25,45	6,09	2,09	33,63
	27	D09_NO	2,54	0,51	0,22	3,26
		D09_SO	11,99	0,79	1,23	14,00
		D27_E	37,83	10,76	2,99	51,58
		D27_N	18,41	7,64	0,81	26,87
D27_RNAV	13,89	7,03	0,63	21,56		

Fuente: Elaboración propia